

粒子群算法在三维空间机器人路径规划中的应用

魏代俊¹, 向长城^{1,2}

(1 湖北民族学院 数学系, 湖北 恩施 445000;

2 重庆大学 自动化学院, 重庆 400030)

[摘要] 将粒子群优化算法应用到粒子群的路径规划中. 首先进行空间坐标变换, 然后将机器人所在的起始点与目的点的连线 SD 进行 $(n+1)$ 等分, 过每个等分点作垂直于 Z 轴的 n 个平面, 在每个平面上做正多边形的点阵, 构成粒子群算法寻优的路径空间, 最后应用于空间机器人的路径规划. 试验证明该方法在收敛速度和精度方面有效.

[关键词] 粒子群, 路径规划, 机器人

[中图分类号] TP24 [文献标识码] A [文章编号] 1672-1292(2008)03-0077-05

Path Planning in 3-D Space for Robot Based on Particle Swarm Optimization

Wei Daijun¹, Xiang Changcheng^{1,2}

(1 Department of Mathematics Hubei Institute for Nationalities Enshi 445000 China

2 Automatic College Chongqing University, Chongqing 400030, China)

Abstract The particle swarm optimization is applied to path planning problem in 3-D space for robot in this paper. First of all, the origin reference frame is transformed the new reference frame by the space coordinate transform; The SD which is connected the origination spot and the objective spot of the robot is divided into $n+1$ dot; the n vertical space to Z line is taken at the uniform dot; and the lattice of regular polygon is distributed in each space; and all lattices of regular polygon are constructed on the search space of the PSO. Finally, the PSO is applied in the 3-D space path planning, and the experiment results proved that the algorithm is effective in convergence speed and precision.

Key words particle swarm optimization, path planning, robot

目前, 国内外有许多研究机器人路径规划的算法^[1-4]. 这些方法大多应用于二维空间, 部分算法推广到了三维空间. 实际上, 由于三维空间特有的时空复杂性, 对二维路径规划算法简单地加以推广, 效果并不理想. 针对三维空间中的路径规划问题, 目前常采用的方法包括 Warren C W 及孙茂相等使用的人工势场法^[1,2]、Caroll K P 提出的 A^* 搜索^[3]、Vasudevan 及尚游等基于案例的推理算法^[4,5]等. 但具体分析发现, 势场法中不可避免地会陷入局部最小, 而且当采用复杂的优化准则时, 势场法不能直接加以推广; A^* 搜索算法随着维数的增加, 时空要求很难得到满足; 基于案例推理的途径根据局部的障碍物调整路径, 有时不能获得全局最优的路径.

三维空间机器人路径规划的任务是在具有障碍物的环境中, 按照一定的评价标准, 寻找一条从起始位置到目的位置的无碰路径. 解决该问题的常规方法由两部分组成: 建立一个数据结构来代表工作空间的几何结构; 搜索该数据结构以找到一条无碰路径. 常见的有可视顶点图法 (Visibility Graph)^[6]和 Voronoi 图法^[7]等. 但这些方法需要大量的时间来建立和搜索数据结构, 因此不适用于存在运动障碍物的在线路径规划. 而胡小兵等将蚂蚁算法 (ACO) 应用到机器人三维空间的路径规划中, 郝燕玲等将遗传算法应用到水下机器人^[8], 仍然存在迭代次数多、耗费时间长的缺陷. 而粒子群算法由于其算法简单、运算时间快, 受

收稿日期: 2007-03-18

基金项目: 湖北省青年基金 (Q200729003) 和湖北民族学院青年基金 (m yq2006041) 资助项目.

通讯联系人: 魏代俊, 硕士, 研究方向: 数学建模与算法设计. E-mail: eswd@163.com

到了越来越多的研究者的注意. 孙波等提出了一种基于粒子群优化算法的移动机器人全局路径规划, 该方法进行环境地图建模, 通过坐标变换在路径的起点与终点之间建立新地图, 然后利用粒子群优化算法获得一条全局最优路径^[10]. 赵先章等针对结构化环境中移动机器人路径规划问题, 提出了一种基于粒子群的路径规划算法^[11], 算法利用适应度函数描述环境约束及路径的距离信息, 由路径节点构成粒子, 通过混合粒子群算法进行寻优. 本文在空间坐标变换后将机器人所在的起始点与目的点的连线 SD 进行 $(n+1)$ 等分, 过每个等分点, 作垂直于 Z 轴的 n 个平面, 在每个平面上做正多边形的点阵, 构成粒子群算法寻优的路径空间, 最后利用粒子群算法解决三维空间机器人路径的规划, 得到了比较理想的寻优速度和精度.

1 问题描述与建模

对于移动机器人, 路径规划就是寻找其在环境中移动时所必须经过的点的集合. 如图 1 所示, 在全局坐标系 $O-XYZ$ 中, S 为机器人的出发点, D 为终点. O_1, O_2, \dots, O_k 表示障碍. 为简单起见, 设障碍物为球形, 可表示为: $\{(o_i, r_i) \mid i = 1, 2, \dots, k\}$, 其中 o_i, r_i 分别表示第 i 个障碍物的球心位置和半径长度. 故机器人的路径规划即寻找一个点集合 $P = \{S, p_1, p_2, p_3, \dots, p_n, D\}$, 其中 $\{p_1, p_2, p_3, \dots, p_n\}$ 即为规划目标, 它是全局地图中一个点的序列. 点 $p_j (j = 1, 2, \dots, n)$ 的特征为: p_j 为非障碍点, p_j 与相邻点的连线上不存在障碍点. 图 2 为在全局路径规划中所示的笛卡尔坐标系 $O'-X'Y'Z'$, 其中 S 点为新坐标系的原点, SD 为 Z' 轴的正方向, X' 轴和 Y' 轴可适当选择.

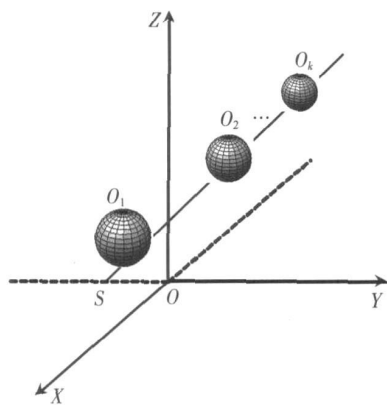


图 1 空间障碍物在坐标系 $O-XYZ$ 中
Fig.1 $O-XYZ$ space frame of axes

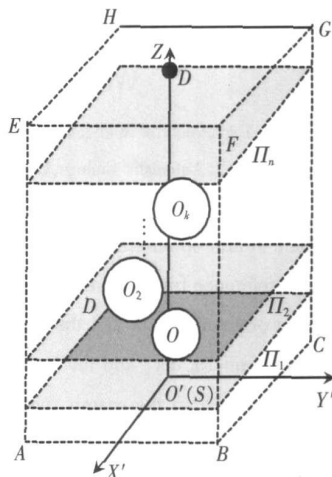


图 2 空间障碍物在坐标系 $O'-X'Y'Z'$ 中
Fig.2 $O'-X'Y'Z'$ space frame of axes

坐标系 $O'-X'Y'Z'$ 与 $O-XYZ$ 之间的变换关系为:

$$\begin{pmatrix} x \\ y \\ z \end{pmatrix} = \begin{pmatrix} \cos\alpha_x & \cos\alpha_y & \cos\alpha_z \\ \cos\beta_x & \cos\beta_y & \cos\beta_z \\ \cos\gamma_x & \cos\gamma_y & \cos\gamma_z \end{pmatrix} \begin{pmatrix} x' \\ y' \\ z' \end{pmatrix}, \tag{1}$$

式中, $\alpha_x, \beta_x, \gamma_x$ 分别为 X 轴与 X', Y', Z' 轴的夹角; $\alpha_y, \beta_y, \gamma_y$ 分别为 Y 轴与 X', Y', Z' 轴的夹角; $\alpha_z, \beta_z, \gamma_z$ 分别为 Z 轴与 X', Y', Z' 轴的夹角.

由式 (1) 可计算出障碍物 $\{(o_i, r_i) \mid i = 1, 2, \dots, k\}$ 在坐标系 $O'-X'Y'Z'$ 下的坐标, 设为 $\{(o'_i, r'_i) \mid i = 1, 2, \dots, k\}$. 因 SD 的长度为 h , 故 D 在坐标系 $O'-X'Y'Z'$ 下的坐标为 $(0, 0, h)$.

在图 2 中作立方体 $ABCDEFGH$, 其中 $ABCD$ 面在 $X'O'Y'$ 平面上, 是边长为 $2L$ 的正方形平面, AB 平行于 Y' 轴, BC 平行于 X' 轴, 原点 O' 在正方形 $ABCD$ 的中心上, 立方体的高 $AE = h$, 定点 H 的坐标为 $(-L, -L, 0)$. 将 SD 进行 $n+1$ 等分, 过每个等分点, 作垂直于 Z' 轴的 n 个平面 $\Pi_i (i = 1, 2, \dots, n)$. 以平面 Π_i 与 SD 的交点为圆心作一个正六边形的点阵, 如图 3 所示.

点阵以交点 $(0, 0, \frac{i}{n}h)$ 为圆心, 分别以 $\frac{2L}{m}, 2\left(\frac{2L}{m}\right), 3\left(\frac{2L}{m}\right), \dots, m\left(\frac{2L}{m}\right)$ 为半径的圆与正多边形的交集

合, 第 i 层平面第 k 个正多边形的第 j 个顶点在 $\Pi_i (i = 1, 2, \dots, n)$ 平面上的极坐标为 $P^i(k, j) = \left[k \left(\frac{2L}{m} \right), j^* \left(\frac{2\pi}{6k} \right) \right]$, 对应坐标系 $O' - X'Y'Z'$ 中的实际坐标为 $(x_{kj}^i, y_{kj}^i, z_{kj}^i) = \left[\frac{2L}{m} \cos \left[j^* \left(\frac{2\pi}{6k} \right) \right], \frac{2L}{m} \sin \left[j^* \left(\frac{2\pi}{6k} \right) \right], \frac{i^* h}{n} \right]$. 其中 $j = 1, 2, \dots, 6k, k = 1, 2, \dots, m; i = 1, 2, \dots, n$, 点计数的顺序从 x 轴方向的点开始逆时针方向依次计数. 实际应用中, 还可以做正 12 边形或者 24 边形的点阵, 这样平面的点都可以取得, 与平面的网格法比较, 此法取得的点更均匀、合理.

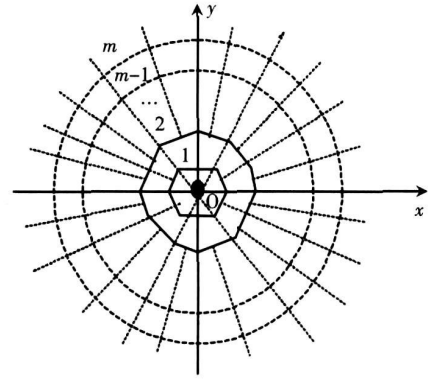


图3 圆与正多边形的交点阵集合
Fig.3 Node lattice set of circular and regular polygon

2 基于粒子群算法的路径规划

2.1 PSO 算法的基本思想

粒子群最佳化算法 (PSO) 是一种以族群动力学为基础的演化式计算法则^[9], 算法中每一个个体在搜寻空间中各自拥有方向和速度, 并且能根据自我过去经验与群体行为进行机率式的搜寻策略调整. 算法开始以随机方式散布粒子, 依各粒子所得的适合度 (fitness) 来进行演化. 其基本算法如式 (2) 所示:

$$\begin{aligned} v_{id}(t+1) &= \omega^* v_{id}(t) + \alpha^* \text{rand}()^* (p_{id} - x_{id}(t)) + \beta^* \text{rand}()^* (p_{gd} - x_{id}(t)), \\ x_{id}(t+1) &= x_{id}(t) + v_{id}(t+1), \end{aligned} \quad (2)$$

式中, d 是搜寻空间中变量的维度, $\text{rand}()$ 是一个介于 0 与 1 之间的随机数, i 是群体中的个体, v_i 是速度向量, x_i 是位置向量. p_{id} 是个体所经历过之最佳解位置, p_{gd} 是个体所处之整个邻域所记录的最佳解位置, 参数 α 以及 β 分别是自我认知与社会模式的学习率, ω 为惯性权重. 在每一次迭代当中, 粒子 x_i 根据个体过去曾经浏览过的最佳向量值 P_{besti} 以及整个群体曾经浏览过的最佳向量值 G_{best} 计算出粒子的位移向量 v_i , 然后再将粒子向量加上此位移向量作为下一次迭代的粒子向量值. 由公式可知 x_i 向 P_{besti} 及 G_{best} 的合成向量方向移动, 以增加改善 x_i 的机会, 同时又设计了随机的干扰量, 以避免掉入局部最佳解. 所以粒子的向量修正原则是取得钻探搜寻以及探索搜寻的平衡, 符合现代经验法则的精神.

2.2 算法实现

有效路径的生成: 在 $O' - X'Y'Z'$ 坐标系中, 机器人从 S (原点) 出发, 首先到达平面 Π_1 上的某点 $P^1(k_1, j_1)$, $k_1 \in \{1, 2, \dots, m\}$, $j_1 \in \{1, 2, \dots, 6k_1\}$, 然后再从 $P^1(k_1, j_1)$ 点出发到达平面 Π_2 上的某点 $P^2(k_2, j_2)$, $k_2 \in \{1, 2, \dots, m\}$, $j_2 \in \{1, 2, \dots, 6k_2\}$, 依次最后到达平面 Π_{n-1} 上 $P^{n-1}(k_{n-1}, j_{n-1})$ 点, $k_n \in \{1, 2, \dots, m\}$, $j_n \in \{1, 2, \dots, 6k_{n-1}\}$. 连接 $P^n(k_n, j_n)$ 与 D 点, 便构成了一条从源点 S 到目的点 D 的路径 $S \rightarrow P^1(k_1, j_1) \rightarrow \dots \rightarrow P^n(k_n, j_n) \rightarrow D$. 路径的长度: $L_{SD} = L_{SP^1} + \sum_{i=1}^n L_{P^i P^{i+1}} + L_{P^n D}$, 其中 L_{SP^1} 表示 S 到 $P^1(k_1, j_1)$ 的距离, $L_{P^i P^{i+1}}$ 表示 $P^i(k_i, j_i)$ 到 $P^{i+1}(k_{i+1}, j_{i+1})$, $L_{P^n D}$ 表示 $P^n(k_n, j_n)$ 到 D 的距离. 如果把 S 看成 P^0 , D 看成 P^{n+1} , 则 $L_{SD} = \sum_{i=0}^{n+1} L_{P^i P^{i+1}}$, 其中 $L_{SD} = \sum_{i=0}^{n+1} \sqrt{(x_{kj}^i - x_{kj}^{i+1})^2 + (y_{kj}^i - y_{kj}^{i+1})^2 + (z_{kj}^i - z_{kj}^{i+1})^2}$, 即 $L_{SD} = \sum_{i=0}^{n+1} \sqrt{(x_{kj}^i - x_{kj}^{i+1})^2 + (y_{kj}^i - y_{kj}^{i+1})^2 + \left(\frac{h}{n+1} \right)^2}$.

最优路径规划转化为对上述距离的最优化问题, 但是由于 S 与 D 之间存在障碍物, 因此某些路径可能是无效的. 为了尽量生成有效路径, 就要消除平面上障碍点, 因此为平面 $\Pi_i (i = 1, 2, \dots, n-1)$ 上的点 $P^i(k_i, j_i)$ 引入一个允许列表 $\text{allow}^i(u, v)$. $\text{allow}^i(u, v)$ 为平面 Π_{i+1} 上点集的子集, 且连接 $P^i(u, v)$ 与 $\text{allow}^i(u, v)$ 中的任何点都不会穿过障碍物.

允许列表 $\text{allow}^i(k, j)$ 的计算方法^[8]: 设 $P^i(k, j)$ 为平面 $\Pi_i (i = 1, 2, \dots, n)$ 上的某一点, 现计算该

点的 $\text{allowed}^i(u, v)$ 列表. 对平面 Π_{i+1} 上的任意点 $P^{i+1}(k_{i+1}, j_{i+1})$, 如果线段 $P^i(k_i, j_i)P^{i+1}(k_{i+1}, j_{i+1})$ 不与任何障碍物相交, 则将 $P^{i+1}(k, l)$ 点加入到 $\text{allowed}^i(k, j)$ 中. 按照此方法, 可以计算出点 $P^i(k_i, j_i)$ 的所有允许到达的点, 并将其存于 $\text{allowed}^i(k, j)$ 中.

空间粒子的表示: 按照空间路径的生成方法, 每个路径上的点表示组成一个粒子 $\{S, P^1(k_1, j_1), \dots, P^n(k_n, j_n), D\}$, 而在空间中, 每个点由三维空间坐标组成. 由路径长度的计算公式知, 只需要考虑路径点 $P^i(k_i, j_i)$ 在平面 $\Pi_i (i = 1, 2, \dots, n+1)$ 横坐标 $x_{k_i}^i$ 和纵坐标 $y_{j_i}^i$ 的变化, 因为横坐标 $x_{k_i}^i$ 和纵坐标 $y_{j_i}^i$ 的变化就可以确定 $P^i(k_i, j_i)$ 新的位置. 第 i 个粒子位置和速度可用式 (3) 表示:

$$X_i = \begin{bmatrix} 0 & x_{k_{i1}}^1 & x_{k_{i2}}^2 & \dots & x_{k_{i(n-1)}}^{n-1} & 0 \\ 0 & y_{j_{i1}}^1 & y_{j_{i2}}^2 & \dots & y_{j_{i(n-1)}}^{n-1} & 0 \end{bmatrix}, V_i = \begin{bmatrix} 0 & vx_{k_{i1}}^1 & vx_{k_{i2}}^2 & \dots & vx_{k_{i(n-1)}}^{n-1} & 0 \\ 0 & vy_{j_{i1}}^1 & vy_{j_{i2}}^2 & \dots & vy_{j_{i(n-1)}}^{n-1} & 0 \end{bmatrix}, \quad (3)$$

式中, $k_1 \in \{1, 2, \dots, m\}$, $j_1 \in \{1, 2, \dots, 6k_1\}$; $k_2 \in \{1, 2, \dots, m\}$, $j_2 \in \{1, 2, \dots, 6k_2\}$; \dots ; $k_n \in \{1, 2, \dots, m\}$, $j_n \in \{1, 2, \dots, 6k_{n-1}\}$. X_i 用一个矩阵来表示, 其第一行表示所采路径点的横坐标, 第二行为相应点的纵坐标. 流程如下:

步骤 1 初始化

(1) 按式 (1) 计算出各障碍物在坐标系 $O' - X'Y'Z'$ 中的坐标;

(2) 作 SD 和平面 $\Pi_i (i = 1, 2, \dots, n)$ 的交点, 以交点圆心, 分别以 $\frac{2l}{m}, 2\left(\frac{2l}{m}\right), 3\left(\frac{2l}{m}\right), \dots, m\left(\frac{2l}{m}\right)$ 为半径

的圆与正多边形的交点的点阵集合;

(3) 计算平面 $\Pi_i (i = 1, 2, \dots, n-1)$ 上所有点的允许列表 $\text{allowed}^i(k, j)$, $j = 1, 2, \dots, 6k$; $k = 1, 2, \dots, m$; $i = 1, 2, \dots, n$;

(4) 粒子群初始化. 随机分配每个粒子的初始位置和速度, 取粒子的维数为 $n+1$, 其中第 1 维和第 $n+1$ 维分别为点 S 和点 D , 它们在粒子的速度和位置更新过程中保持不变. 其它维的粒子分别在平面 $\Pi_i (i = 1, 2, \dots, n-1)$ 上所有点的允许列表 $\text{allowed}^i(k, j)$, $j = 1, 2, \dots, 6k$; $k = 1, 2, \dots, m$; $i = 1, 2, \dots, n$ 中随机选取. 以此保证随机产生的粒子所代表的路径不可能碰到障碍物.

步骤 2 按照粒子群更新的公式对每代种群的第 i 个粒子的第 d 维向量进行更新如下:

$$V_{k_{id}^i}^d(t+1) = \omega^* V_{k_{id}^i}^d(t) + \alpha^* \text{rand}()^* (p_{id} - X_{k_{id}^i}^d(t)) + \beta^* \text{rand}()^* (p_{g,d} - X_{k_{id}^i}^d(t)),$$

$$X_{k_{id}^i}^d(t+1) = X_{k_{id}^i}^d(t) + V_{k_{id}^i}^d(t+1),$$

$$vx_{k_{id}^i}^d(t+1) = \omega^* vx_{k_{id}^i}^d(t) + \alpha^* \text{rand}()^* (p_{id} - x_{k_{id}^i}^d(t)) + \beta^* \text{rand}()^* (p_{g,d} - x_{k_{id}^i}^d(t)),$$

$$vy_{k_{id}^i}^d(t+1) = \omega^* vy_{k_{id}^i}^d(t) + \alpha^* \text{rand}()^* (p_{id} - y_{k_{id}^i}^d(t)) + \beta^* \text{rand}()^* (p_{g,d} - y_{k_{id}^i}^d(t)).$$

速度更新的范围为正多边形的点阵范围, 以使粒子不会跑到点阵外面. 其中 $V_{k_{id}^i}^d(t+1) =$

$$\begin{bmatrix} vx_{k_{id}^i}^d(t+1) \\ vy_{k_{id}^i}^d(t+1) \end{bmatrix}, X_{k_{id}^i}^d(t+1) = \begin{bmatrix} x_{k_{id}^i}^d(t+1) + vx_{k_{id}^i}^d(t+1) \\ y_{k_{id}^i}^d(t+1) + vy_{k_{id}^i}^d(t+1) \end{bmatrix}, V_{k_{id}^i}^d(t) \text{ 为 } t \text{ 代第 } i \text{ 个粒子 } d \text{ 维坐标分别为}$$

k_{id} 的速度, $X_{k_{id}^i}^d(t)$ 为其对应的位置. $vx_{k_{id}^i}^d(t), vy_{k_{id}^i}^d(t)$ 分别为该粒子对应 X 方向和 Y 方向的速度. $x_{k_{id}^i}^d(t), y_{k_{id}^i}^d(t)$ 分别为粒子在 X 方向和 Y 方向的位置分量

步骤 3 对更新后的粒子检查是否遇到障碍物, 即检查更新后的粒子是否在相应的允许列表 $\text{allowed}^i(k, j)$ 中, $j = 1, 2, \dots, 6k$; $k = 1, 2, \dots, m$; $i = 1, 2, \dots, n$. 如果允许列表不为空, 选择下一个平面上的点, 否则该粒子失散; 然后添加通过补充新的粒子添加到粒子群中, 进行优化.

步骤 4 对每个粒子进行适应值 (即 L_{SD}) 的计算, 更新个体粒子最优位置和粒子群整体的最优位置.

步骤 5 如果搜索到最优路径, 并且连续不再发生变化, 则结束循环输出最优解; 否则转至步骤 2

3 仿真试验

本文实验直接考虑坐标系 $O' - X'Y'Z'$ 中的情形. 例 1^[8] 设 3 个障碍物 O_1, O_2, O_3 的球心坐标和半径分别为: $\{(20, 25, 60): 30\}, \{(30, 25, 95): 40\}, \{(46, 50, 260): 86\}$, 目的点 D 的坐标为 $(0, 0, 400)$. $n = 15, m = 15, L = 150$, 其中粒子群算法的参数设置为 $\omega = 2, \alpha = 2, \beta = 2$ 粒子数 50

在 PIII IGMH z 256M 的 Windows XP 系统中用 Matlab 7.1 对实验进行仿真, 算法迭代 578 次以后得最优解长度为 488.94, 其路径如图 4 所示。

4 结论

本文将 PSO 应用于机器人路径规划问题, 提出了一种求解三维空间机器人路径规划问题的 PSO 算法。该算法首先将机器人所在位置与将要到达的目的地之间的空间用 $n-1$ 个平面划分, 然后在每个平面上构造正多边形点阵, 并将其极坐标表示方式转化为三维空间表示, 同时定义原点与目的点之间的有效路径。然后用粒子群算法表示这些路径, 根据定义的距离函数作为适应值函数。实验结果表明, 该算法不仅有效, 而且具有极快的速度。在该算法中, 多边形点阵的稠密程度决定了算法求解的精度。空间网格越稠密, 算法的精度越高, 所需时间也越长; 反之则越低, 所花时间越短。在实际应用中, 可根据对精度的要求, 选用适当的网格的稠密程度。

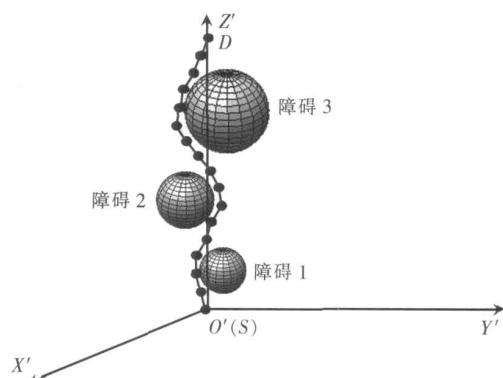


图 4 算法规划出的路径

Fig.4 Planning path based on PSO

[参考文献] (References)

- [1] Warren C W. A technique for autonomous underwater vehicle route planning [J]. IEEE J of Oceanic Engineering, 1990(15): 199-204.
- [2] 孙茂相, 王艳红, 吴学曼, 等. 动态补偿的水下机器人路径规划 [J]. 机器人, 1993(2): 8-12
Sun Maoxiang, Wang Yanhong, Wu Xueman, et al. Underwater robot path planning with dynamic [J]. Robot, 1993(2): 8-12 (in Chinese).
- [3] Carroll K P, McClaran S R, Nelson E L, et al. AUV path planning: an A# approach [C] // Proc Symp on AUV Technology, Washington D C, 1992: 79-84.
- [4] Vasudevan C, Ganesan K. Case-based path planning for autonomous underwater vehicles [J]. Autonomous Robots, 1996(3): 79-89.
- [5] 尚游, 刘百顺, 张万春, 等. 基于案例的自主式水下机器人全局路径规划的学习算法 [J]. 哈尔滨工程大学学报, 1998, 19(5): 1-7.
Shang You, Liu Baishun, Zhang Wanchun, et al. Autonomous underwater vehicles global path planning using case-based learning algorithm [J]. Journal of Harbin Engineering University, 1998, 19(5): 1-7. (in Chinese).
- [6] Lee S, Park J. Neural computation for collision-free path planning [J]. Journal of Intelligent Manufacturing, 1991(2): 315-326.
- [7] Meng Qinghao, Peng Shangxian, Liu Dawei. Mobile robot global path planning using heuristic search on the Q-M graph [J]. Robot (in Chinese), 1998, 20(4): 273-279.
- [8] 郝燕玲, 张京娟. 基于遗传算法的 AUV 三维海底路径规划 [J]. 中国工程科学, 2003, 5(11): 56-60.
Hao Yanling, Zhang Jingjuan. AUV path planning in 3D seabed environment using genetic algorithm [J]. Engineering Science, 2003, 5(11): 56-60 (in Chinese).
- [9] Kennedy J, Eberhart R C. Particle swarm optimization [C] // Proc IEEE Conf on Neural Networks, Piscataway, N J, 1995: 1942-1948.
- [10] 孙波, 陈卫东, 席裕庚. 基于粒子群优化算法的移动机器人全局路径规划 [J]. 控制与决策, 2005, 20(9): 1052-1054.
Sun Bo, Chen Weidong, Xi Yugeng. Particle swarm optimization based global path planning for mobile robots [J]. Control and Decision, 2005, 20(9): 1052-1054. (in Chinese).
- [11] 赵先章, 常红星, 曾隽芳, 等. 一种基于粒子群算法的移动机器人路径规划方法 [J]. 计算机应用研究, 2007, 24(3): 181-183.
Zhao Xianzhang, Chang Hongxing, Zeng Junfang, et al. Path planning method for mobile robot based on particle swarm algorithm [J]. Application Research of Computers, 2007, 24(3): 181-183. (in Chinese).

[责任编辑: 严海琳]